

ОСОБЕННОСТИ ТЕМПЕРАТУРНОЙ ЗАВИСИМОСТИ ФОТОПРОВОДИМОСТИ СЛАБО ЛЕГИРОВАННОГО БОРОМ $a\text{-Si : H}$

Казанский А. Г., Климаншин И. В., Кузнецов С. В.

В области 150—450 К исследованы температурные зависимости собственной фотопроводимости ($\Delta \sigma$) аморфного гидрированного кремния, слабо легированного бором. Полученные зависимости носят немонотонный характер. При возбуждении образца светом с интенсивностью, превышающей 10^{18} кв/см²·с, в области температур, больших 300 К, характер изменения $\Delta \sigma$ с температурой зависит от направления изменения температуры в процессе измерений. Полученные результаты объясняются изменением каналов рекомбинации и типа проводимости образца при изменении температуры и влиянием малых интенсивностей освещения на плотность состояний, определяющих процессы рекомбинации неравновесных носителей.

Несмотря на широкое использование слабо легированных акцепторами пленок аморфного гидрированного кремния ($a\text{-Si : H}$) в приборных структурах на их основе, процессы рекомбинации неравновесных носителей в них практически не изучены [1, 2]. В настоящей работе исследованы температурные зависимости фотопроводимости слабо легированных бором пленок $a\text{-Si : H}$. Проведенное численное моделирование позволило уточнить предварительную интерпретацию результатов измерений, представленных в [2].

Пленки $a\text{-Si : H}$ толщиной ~ 1 мкм получались методом разложения смеси газов моносилана (SiH_4) и диборана (B_2H_6) в ВЧ тлеющем разряде при температуре 250 °C. Объемное отношение $\text{SiH}_4/\text{B}_2\text{H}_6$ в реакционной камере составляло 10^{-6} . Фотопроводимость ($\Delta \sigma$) измерялась при возбуждении квантами света с энергией $h\nu=1.9$ эВ. Перед измерениями пленки отжигались в вакууме при $T=180$ °C в течение 30 мин.

Температурная зависимость темновой проводимости (σ_0) в области 300—360 К носила активационный характер с энергией активации $E_a=0.91$ эВ (рис. 1). Измерения знака термоэдс в темноте при комнатной температуре показали, что исследованные пленки имели дырочный тип проводимости. Положение уровня Ферми относительно края валентной зоны (E_F-E_c) для исследованных пленок в отожженном состоянии при комнатной температуре составляло 0.7 эВ. Значение (E_F-E_c) получено из соотношения $(E_F-E_c)=-kT \ln (\sigma_m/\sigma_0)$ [3] в предположении, что минимальная металлическая проводимость σ_m для дырок близка к значению σ_m для электронов [4] и равна $150 \text{ Ом}^{-1} \cdot \text{см}^{-1}$ [3]. Поскольку оптическая ширина зоны для исследованных пленок составляла 1.8 эВ, уровень Ферми был расположен ниже состояния (E_{D^0}) нейтрально заряженных оборванных связей, находящегося, согласно [5], на глубине $E_c-E_{D^0}=0.9$ эВ.

Температурные зависимости $\Delta \sigma$, измеренные при различных интенсивностях (I) падающего света, показаны на рис. 1. Как видно, зависимость $\Delta \sigma(T)$ носит сложный характер. Причем при увеличении интенсивности света в области высоких температур характер изменения $\Delta \sigma(T)$ зависит от направления изменения температуры. (Скорость изменения температуры в процессе измерений составляла 5 град/мин).

Для объяснения зависимости $\Delta \sigma(T)$ нами был проведен численный расчет фотопроводимости и заполнения состояний оборванных связей, которые могут

находиться в трех зарядовых состояниях (D^0 , D^+ и D^-). При расчете учитывались как рекомбинация свободных носителей через состояния дефектов с положительной энергией корреляции $U=0.3$ эВ [6] и $E_c-E_{D^0}=0.9$ эВ [5], так и туннельная рекомбинация (в том числе и через дефекты) между мелкими эффективными уровнями, расположеннымами на расстоянии 0.1 эВ от зоны проводимости и 0.3 эВ от валентной зоны [7]. Предполагалось также, что отношение сечения захвата носителей на противоположно заряженные центры (S^+ , $-$) к сечению захвата на нейтральные центры (S^0) равно 50, а отношение подвижностей электронов и дырок — 10. Результаты численного расчета $\Delta\sigma(T)$ для различных положений E_f относительно E_{D^0} и различных концентраций

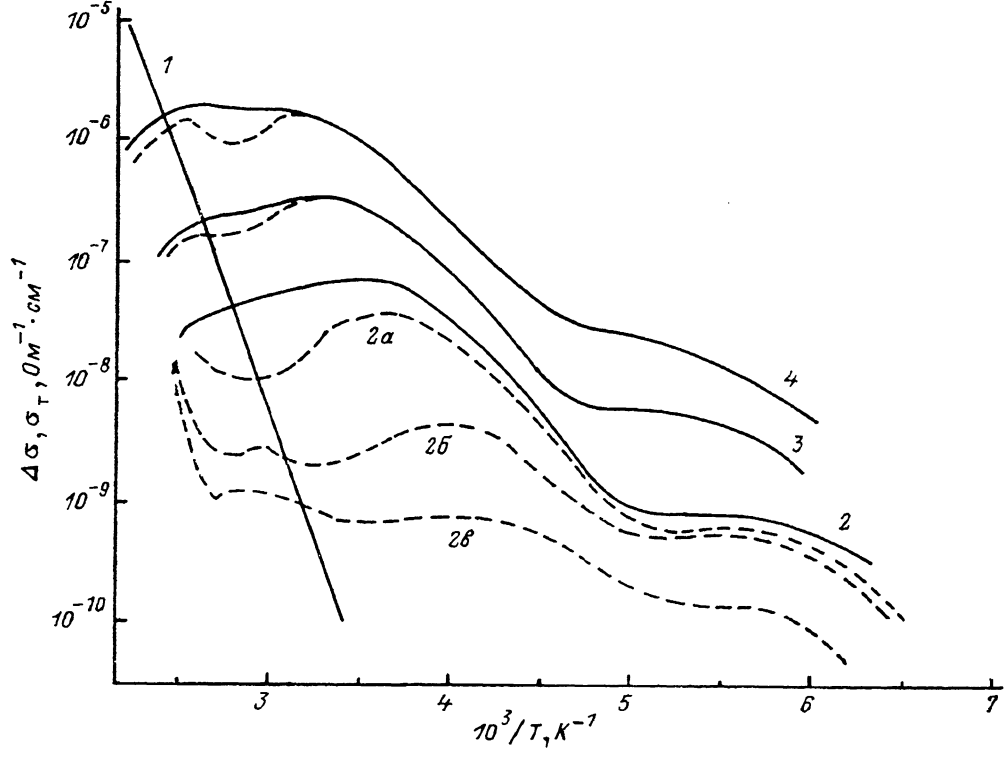


Рис. 1. Температурные зависимости темновой проводимости (1) и фотопроводимости (2—4), измеренные при понижении (сплошные кривые) и повышении (штриховые) температуры при различных интенсивностях.

I , кВ/см 2 ·с: 2, 2a—2c — $1.3 \cdot 10^{12}$, 3 — $6.7 \cdot 10^{12}$, 4 — $1.6 \cdot 10^{14}$. 2a—2c получены после освещения пленки светом с $P=100$ мВт/см 2 при $T=347$ К в течение 5 (2a), 30 (2c) и 180 с (2b).

дефектов представлены на рис. 2. Как видно, характер рассчитанных зависимостей $\Delta\sigma(T)$ близок к полученным в эксперименте.

Проведенный модельный расчет позволил качественно объяснить экспериментальные зависимости $\Delta\sigma(T)$ следующим образом. Рассмотрим малые интенсивности возбуждения ($I=1.3 \cdot 10^{12}$ кВ/см 2 ·с). В области низких температур ($T < 180$ К) неравновесные электроны и дырки в основном находятся на состояниях хвостов соответствующих зон. Поскольку протяженность хвоста валентной зоны больше протяженности хвоста зоны проводимости [7], концентрация свободных электронов (Δn) превышает концентрацию свободных дырок (Δp) и $\Delta\sigma$ определяется электронами. Основным каналом рекомбинации при $T < 180$ К является туннельная рекомбинация захваченных на хвосты носителей непосредственно между состояниями хвостов зон и (или) через состояния дефектов. Увеличение $\Delta\sigma$ с ростом температуры связано с термическим выбросом неравновесных электронов из состояний хвостов в зону проводимости.

При увеличении температуры возрастает термическая генерация неравновесных электронов и дырок из состояний хвостов в соответствующие зоны.

Это приводит к смене основного канала рекомбинации, и при $T > 180$ К рекомбинация идет из делокализованных состояний зон через состояния оборванных связей. Время жизни электронов определяется концентрацией D^0 (N^0) и D^+ (N^+)-центров, а время жизни дырок — концентрацией D^0 - и D^- (N^-)-центров.

Поскольку $(E_{D^0} - E_f) > 0$, в темноте оборванные связи находятся в основном в D^0 - и D^+ -состояниях, причем $N^+ > N^0 > N^-$. В области низких температур в условиях подсветки соотношение между N^+ , N^0 и N^- существенно отличается от равновесного. Поскольку $\Delta n > \Delta p$, захват электронов на D^+ -центры приводит к их перезарядке и увеличению N^0 . Соответственно при низких температурах ($T \approx 180$ К) в условиях подсветки выполняется соотношение $N^0 > N^+$. В области $T > 180$ К увеличение термической генерации неравновесных дырок с хвоста валентной зоны при повышении температуры приводит

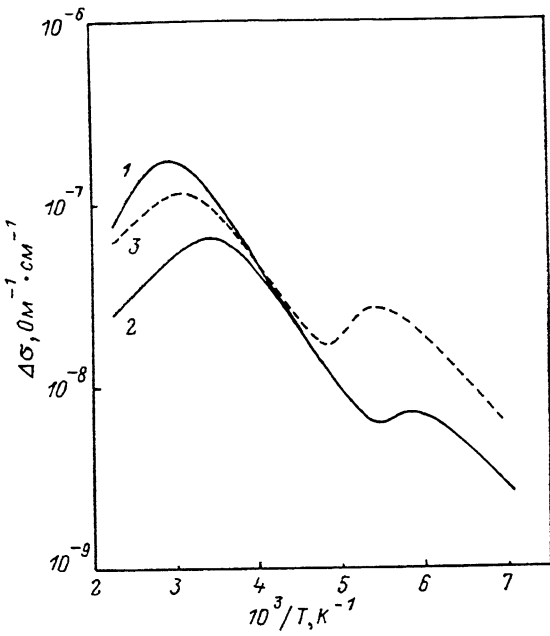


Рис. 2. Рассчитанные температурные зависимости фотопроводимости для различных положений уровня Ферми и концентраций дефектов.

$(E_{D^0} - E_f)$, эВ: 1 — 0.15, 2, 3 — 0.10. $N_D \cdot 10^{-18}$, см⁻³: 1, 2 — 5, 3 — 2.

к уменьшению перезарядки D^+ -центров. Соответственно N^+ увеличивается, а N^0 уменьшается. Поскольку $S^+ > S^0$, при $S^+N^+ > S^0N^0$ увеличение N^+ определяет уменьшение времени жизни электронов, поэтому в области 180—200 К величина $\Delta\sigma$ с ростом температуры насыщается (или) уменьшается.

Дальнейший рост термической генерации неравновесных дырок с хвоста валентной зоны с увеличением температуры приводит к изменению типа проводимости при $T \approx 200$ К. Это утверждение согласуется с данными работы [1], в которой для пленок $a\text{-Si : H}$ с аналогичным уровнем легирования бором измерения знака термоэдс показали изменение типа фотопроводимости — от электронной к дырочной при $T \approx 170$ К. Поскольку время жизни дырок определяется концентрацией D^0 -центров ($N^0 \gg N^-$), уменьшение N^0 с ростом температуры в области $T = 200$ —290 К приводит к росту $\Delta\sigma$. Наконец, в области $T > 290$ К заполнение оборванных связей начинает определяться равновесной статистикой, согласно которой в случае $E_c - E_v \leq E_{D^0} - E_f$ концентрация D^0 -центров возрастает с температурой [8]. Соответственно фотопроводимость должна уменьшаться.

В области высоких температур с повышением интенсивности света характер изменения $\Delta\sigma(T)$ начинает зависеть от направления изменения температуры при проведении измерений. На кривых, измеренных при повышении темпе-

ратуры, проявляется минимум $\Delta \sigma$, положение которого практически не зависит от интенсивности света. В работе [2] нами было отмечено, что наблюдаемый температурный «гистерезис» может быть связан с влиянием освещения на форму распределения и величину плотности состояний в щели подвижности, участвующих в процессах рекомбинации неравновесных носителей. Известно, что освещение $a\text{-Si : H}$ приводит к увеличению концентрации оборванных связей и смещению E_f , [9]. На рис. 1 представлены зависимости $\Delta \sigma(T)$, измеренные при интенсивности света $I = 1.3 \cdot 10^{12} \text{ кВ/см}^2 \cdot \text{с}$ для исследованной пленки $a\text{-Si : H}$ в отожженном состоянии (2) и после ее освещения при $T = 317 \text{ К}$ в течение различного времени ($2a - 2e$) светом лампы накаливания через тепловой фильтр интенсивностью 100 мВт/см^2 . Как видно, освещение приводит к изменению формы зависимости $\Delta \sigma(T)$, причем максимальное изменение (уменьшение) наблюдается в области высоких температур. Близкий характер зависимости $\Delta \sigma(T)$, полученной при $I = 1.3 \cdot 10^{12} \text{ кВ/см}^2 \cdot \text{с}$ после непродолжительной оптической деградации (2a), и зависимостей $\Delta \sigma(T)$, измеренных при повышении температуры для $I > 1.3 \cdot 10^{12} \text{ кВ/см}^2 \cdot \text{с}$ (3, 4), указывает на возможность того, что причиной наблюдаемого гистерезиса является оптическая деградация образца в процессе проведения измерений. Действительно, скорость установления равновесного состояния, определяемого процессами вызванного светом изменения плотности состояний, например состояний дефектов и их отжига, уменьшается с понижением температуры. В то же время величина равновесного для данной температуры изменения плотности состояний, например созданных светом дефектных состояний [10], увеличивается с понижением температуры. Это может привести к температурному гистерезису величин, определяемых плотностью состояний, в частности $\Delta \sigma$. Рост интенсивности света, при которой производятся измерения $\Delta \sigma(T)$, увеличивает данный эффект. Наблюденный при $T \approx 370 \text{ К}$ минимум на кривых $\Delta \sigma(T)$, измеренных при повышении температуры для $I > 1.3 \cdot 10^{12} \text{ кВ/см}^2 \cdot \text{с}$, связан с отжигом вызванных светом изменений плотности состояний при $T > 370 \text{ К}$.

Одним из факторов, определяющих различный характер зависимостей $\Delta \sigma(T)$, полученных при понижении и повышении температуры для $I > 1.3 \times 10^{12} \text{ кВ/см}^2 \cdot \text{с}$, может быть смещение положения уровня Ферми, связанное с изменением плотности состояний, вызванным освещением (рис. 2). Оценка величины $(E_f - E_s)$ для исследованного образца показала, что после измерения зависимости $\Delta \sigma(T)$ при $I = 1.6 \cdot 10^{14} \text{ кВ/см}^2 \cdot \text{с}$ значение $(E_f - E_s)$ при комнатной температуре возрастает от 0.7 до 0.72 эВ, что указывает на смещение уровня Ферми к середине щели подвижности. Заметим, что при этом величина поглощения в «дефектной области» спектра, измеренная методом постоянного фототока и характеризующая концентрацию дефектов, практически не изменилась.

Таким образом, проведенные исследования указывают на то, что особенности температурной зависимости $\Delta \sigma$ в слабо легированных бором пленках $a\text{-Si : H}$ определяются изменением типа проводимости и влиянием малых интенсивностей освещения на плотность состояний, определяющих рекомбинацию неравновесных носителей.

[Список литературы]

- [1] Vanier P. E. // Semicond. a. Semimet. 1984. V. 21. Pt B. P. 329—357.
- [2] Казанский А. Г., Миличевич Е. П., Уразбаева Р. А. // ФТП. 1990. Т. 24. В.6. С. 1143—1145.
- [3] Stuke J. // J. Non-Cryst. Sol. 1987. V. 97-98. P. 1—14.
- [4] Kakalios J., Street R. A. // Phys. Rev. B. 1986. V. 34. N 8. P. 6014—6017.
- [5] Kocka J., Vaneeck M., Schauer F. // J. Non-Cryst. Sol. 1987. V. 97-98. P. 715—722.
- [6] Jousse D. // Appl. Phys. Lett. 1986. V. 49. N 21. P. 1439—1440.
- [7] Hohezel H., Fuhs W. // Phil. Mag. B. 1988. V. 57. N 3. P. 411—419.
- [8] Stutzmann M., Jackson W. // Sol. St. Commun. 1987. V. 62. N 3. P. 153—157.
- [9] Staebler D. L., Wronski C. R. // Appl. Phys. Lett. 1977. V. 31. N 4. P. 292—294.
- [10] Stutzmann M., Jackson W. B., Tsai C. C. // Phys. Rev. B. 1985. V. 32. N 1. P. 23—47.